

III-22 飽和粘土の応力緩和と動的降伏曲面について

京都大学工学部 正員 足立紀尚
京都大学工学部 学生員 ○田中利雄

1 はじめに 現在まで、クリープ、応力緩和などひずみ速度効果（時間依存性）を示す土質材料の構成方程式を確立すべく研究を行つてきているが、そのための一連の実験の一つとして、応力緩和試験を行つてある。粘土の動的降伏曲面を考察するにあたっては、まずその平衡状態における静的降伏曲面を決定する必要があるが、その平衡状態を追求するには応力緩和試験が最適であると考える。そこでこの目的をもつて、応力緩和のより詳細にわたる挙動を調べ、動的降伏曲面との相関について一つの考察を行つてみた。

2 実験試料、装置、および方法 試料は乾燥深草粘土を十分練返した後、大型圧密容器で圧密したものを利用した。その物理的性質は比重2.68、L.L.=53.8%、P.L.=27.1%，I.P.=26.7である。装置は3軸セルにパルスマーターによるせん断機構を備えつけたものを利用した。軸圧はロードセルで、軸変位はL.V.D.T.で、側面圧は小型半導体圧力変換器で測定した。実験方法は $\sigma_1 = 2 \text{ kg/cm}^2$ 、 $\sigma_3 = 1 \text{ kg/cm}^2$ で48時間圧密を行つた後、パルスマーターで所定の軸差応力までせん断を行い、その後応力緩和を行つた。せん断のひずみ速度、与えた軸差応力に因しては表1にまとめておく。

3 結果ならびに考察 図-1は過剰側面水圧-時間関係を求めたものである。せん断時のひずみ速度が速い場合には、過剰側面水圧の発生の遅れを生じるが、それが解消した後の過剰側面水圧は一定値を保つてゐる。すなわち、L。のりうせん断変形とともに違う軸ひずみと発生側面水圧が一義的関係をなすことかここに認められる。

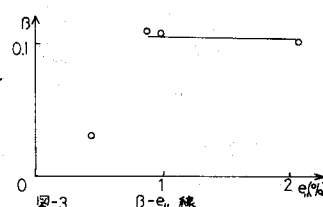
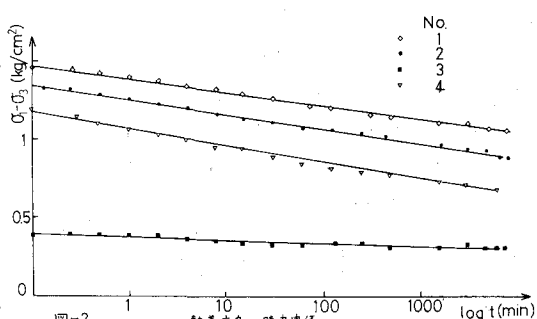
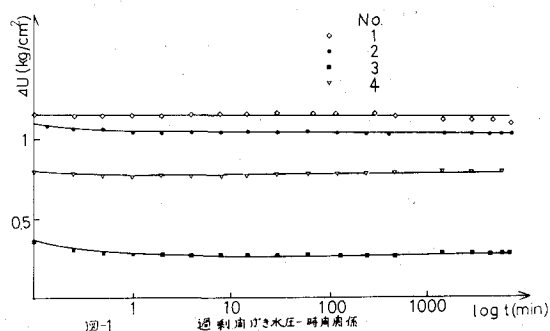
図-2は軸差応力-時間関係を求めたものである。 $(\sigma_1 - \sigma_3)_{t=0} = 0.75 \text{ kg/cm}^2$ の場合を除いて、応力緩和曲線は平行直線群をなし、村山、岡口、上田の応力緩和実験式(1)を満足していることが認められる。

$$(\sigma_1 - \sigma_3)(t) = (\sigma_1 - \sigma_3)(t_1) - \beta \log(t/t_1) \quad (1)$$

ここに $(\sigma_1 - \sigma_3)(t)$ は時間 t における軸差応力、 $(\sigma_1 - \sigma_3)(t_1)$ は基準時間 t_1 における軸差応力、 β は応力緩和速度を表す。また応力緩和速度-軸方向偏差ひずみ関係を図-3に示しておく。図-2で時間 t が 500' 以上の場合について検討してみると、軸差応力の変化がほとんど無くなり、平衡状態に

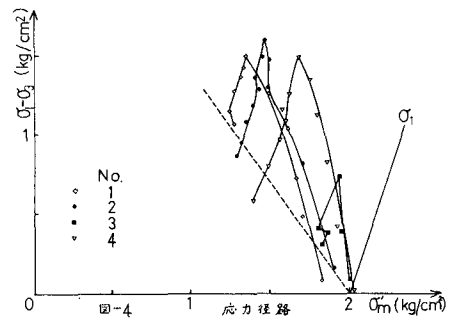
No.	E (%)	$\dot{\epsilon}$ (%/min)	$(\sigma_1 - \sigma_3)_{t=0}$ (kg/cm^2)
1	2.08	0.10	1.51
2	0.995	9.95	1.61
3	0.422	12.2	0.75
4	0.831	16.6	1.50

表-1



近づいてきていることが推察される。これらが真に平衡状態になつてゐるかについては、このデーターではまだ十分ではなく

より長時間の実験を行なわなければならぬ。しかしながら図-4に示した応力経路が、周囲に破線で示した平衡状態ラインに近づいてゐる（一部は平衡状態ラインを越えてゐる）ことから、ほぼ平衡状態になつてゐることがうかがえる。この平衡状態ラインは同一試料の振動クリープ実験（振幅0.4kg/cm², 1cycle/sec）により、求めたものである。図-4より応力緩和時の応力経路は最大主応力軸とほぼ平行に変化してゐるのかわかる。



4 動的降伏曲面に対する考察 足立、安藤は構成方程式として。

$$\dot{\varepsilon}_{ij} = \dot{\varepsilon}_{ij}/2G(\epsilon) + \beta/(1+\epsilon) \dot{\sigma}_m \delta_{ij} + M <\text{至}(F)> \\ \{(M - \sqrt{2J_2})/(\dot{\sigma}_m + \beta \dot{\sigma}_m)\} \dot{\sigma}_{ij}/3 + S_{ij}/\sqrt{2J_2}\} \quad (2)$$

^{*2}を提唱してゐる。

(2)より3軸非排水試験では、

$$\dot{\varepsilon}_1 = \frac{2}{3} (\dot{\varepsilon}_1 - \dot{\varepsilon}_3) = \frac{1}{3G} (\dot{\sigma}_1 - \dot{\sigma}_3) + M <\text{至}(F)> \\ = 0 \quad (3)$$

応力緩和試験では

$$(\varepsilon_1 - \varepsilon_3)^E(t) + (\varepsilon_1 - \varepsilon_3)^{RP}(t) = (\varepsilon_1 - \varepsilon_3)(t) \\ = \text{const.} \quad (4)$$

となる。また、

$$(\varepsilon_1 - \varepsilon_3)^E(t) = \frac{1}{2G} (\dot{\sigma}_1 - \dot{\sigma}_3)(t) \quad (5)$$

であるから、(1), (5)を(4)に代入すると、

$$\frac{1}{2G} \{(\dot{\sigma}_1 - \dot{\sigma}_3)(t_1) - \beta \log(t/t_1)\} + (\varepsilon_1 - \varepsilon_3)^{RP}(t) = (\varepsilon_1 - \varepsilon_3)(t) \quad (6)$$

この(6)式より、 $(\varepsilon_1 - \varepsilon_3)^{RP}(t)$ 、すなわち、応力緩和時の時間tにおける非弾性ひずみが求まる。なお一般的な非弾性ひずみ-時間関係を図-5に示す。

さらに(1)から、

$$(\dot{\sigma}_1 - \dot{\sigma}_3)(t) = -2.3 \beta / t \quad (7)$$

(3), (7)より

$$<\text{至}(F)> = 2.3 \beta / 3G t = C/t, \quad \text{ここに } C = 2.3 \beta / 3G \mu \quad (8)$$

(1)より $F = F(-\ln t)$ であるから、結局(8)は

$$<\text{至}(-\ln t)> = C/t \text{ と表わせ、超過応力指数} <\text{至}(F)> \text{は} l \times P \text{ 指数で与えられることがわかる。}$$

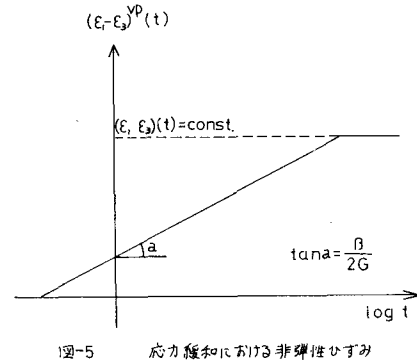


図-5 応力緩和における非弾性ひずみ
-時間関係

参考文献

*1 村山、奥口、上田 粘土の応力緩和特性について 昭和47年度関西支部年次学術講演概要

*2 足立、安藤 土質材料の動的降伏曲面について 第8回国土質工学会研究発表会講演集、1973
P.335～P.338